

Teorema 3 (transformarea Hilbert)

O condiție nec. și suf. ca $G(jS) = R(S) + jI(S)$, de proprietate integr., să fie reșp. la frecv. al unui sist. din. lin. realist este ca:

$$I(S) = -\frac{1}{j} \int_{-\infty}^{+\infty} \frac{R(y)}{S-y} dy, \quad R(S) = +\frac{1}{j} \int_{-\infty}^{+\infty} \frac{I(y)}{S-y} dy.$$

D. Necesitatea. $g(t) \equiv 0, t < 0, \Rightarrow g(t) = g(t)^\dagger(t)$.

Se aplică transf. Fourier:

$$\begin{aligned} G(jS) &= \frac{1}{2} G(jS) * \left(\frac{1}{jS} + u(S) \right), \quad G(jS) = \frac{1}{2} G(jS) * \frac{1}{jS} + \frac{1}{2} G(jS) * u(S), \\ G(jS) &= \frac{1}{j} G(jS) * \frac{1}{S}, \quad R(S) + jI(S) = \frac{1}{j} \int_{-\infty}^{+\infty} \frac{R(y) + jI(y)}{S-y} dy. \\ R(S) &= \frac{1}{j} \int_{-\infty}^{+\infty} \frac{jI(y)}{S-y} dy, \quad jI(S) = \frac{1}{j} \int_{-\infty}^{+\infty} \frac{R(y)}{S-y} dy. \end{aligned}$$

M. Voicu, IA (VI)

C 11 (37)

1

Suficiența. Utilizând de ex. $R(S) = +\frac{1}{j} \int_{-\infty}^{+\infty} \frac{I(y)}{S-y} dy$

$$\text{se scrie: } R(S) = \frac{1}{j} \int_{-\infty}^{+\infty} jI(y) \frac{2}{j(S-y)} dy = jI(S) * \frac{2}{jS}. \quad (3.45)$$

Cu $\frac{2}{jS} = \mathcal{F}\{\operatorname{sgn} t\}$, din (3.45) rezultă :

$$g_p(t) = g_i(t) \operatorname{sgn} t,$$

$$g(t) = g_i(t) + g_p(t) = g_i(t) + g_i(t) \operatorname{sgn} t.$$

$$g(t) = \begin{cases} g_i(t) - g_i(t) = 0, & t < 0, \\ g_i(t) + g_i(t) \equiv 2g_i(t), & t > 0. \end{cases}$$

→ Sistemul dinamic liniar este realist. ■

M. Voicu, IA (VI)

C 11 (37)

2

Exemplul 3.6

Să se arate că următoarea funcție de transfer satisfacă teorema 3.

$$G(s) = \frac{1}{s+1}.$$

Pentru $s = j\tilde{S}$ rezultă

$$\begin{aligned} R(y) &= \frac{1}{\tilde{S}^2 + 1}, \quad I(\tilde{S}) = -\frac{\tilde{S}}{\tilde{S}^2 + 1}, \\ I(\tilde{S}) &= -\frac{1}{f} \int_{-\infty}^{+\infty} \frac{1}{(y^2 + 1)(\tilde{S} - y)} dy = -\frac{1}{f} \int_{-\infty}^{+\infty} \frac{1}{\tilde{S}^2 + 1} \left(\frac{y + \tilde{S}}{y^2 + 1} + \frac{1}{\tilde{S} - y} \right) dy = \\ &= -\frac{1}{\tilde{S}^2 + 1} \lim_{r \rightarrow +\infty} \left[\int_{-r}^{+r} \frac{y + \tilde{S}}{y^2 + 1} dy + \lim_{v \rightarrow 0} \left(\int_{-r}^{\tilde{S}-v} \frac{1}{\tilde{S}-y} dy + \int_{\tilde{S}+v}^{+r} \frac{1}{\tilde{S}-y} dy \right) \right] = \end{aligned}$$

M. Voicu, IA (VI)

C 11 (37)

3

$$\begin{aligned} &= -\frac{1}{\tilde{S}^2 + 1} \lim_{r \rightarrow +\infty} \left[\frac{1}{2} \ln(y^2 + 1) \Big|_{-r}^{+r} + \tilde{S} \operatorname{arctgy} \Big|_{-r}^{+r} - \right. \\ &\quad \left. - \lim_{v \downarrow 0} \left(\ln|\tilde{S} - y| \Big|_{-r}^{\tilde{S}-v} + \ln|\tilde{S} - y| \Big|_{\tilde{S}+v}^r \right) \right] = \\ &= -\frac{1}{\tilde{S}^2 + 1} \lim_{r \rightarrow +\infty} \left[\cancel{\frac{1}{2} \ln(r^2 + 1)} - \cancel{\frac{1}{2} \ln(r^2 + 1)} + 2\tilde{S} \operatorname{arctgr} - \right. \\ &\quad \left. - \lim_{v \downarrow 0} (\cancel{\ln r} - \ln|\tilde{S} + r| + \ln|\tilde{S} - r| - \cancel{\ln r}) \right] = \\ &= -\frac{1}{\tilde{S}^2 + 1} \lim_{r \rightarrow +\infty} \left(2\tilde{S} \operatorname{arctgr} + \ln \left| \frac{\tilde{S} + r}{\tilde{S} - r} \right| \right) = -\frac{\tilde{S}}{\tilde{S}^2 + 1} = I(\tilde{S}). \blacksquare \end{aligned}$$

M. Voicu, IA (VI)

C 11 (37)

4

Teorema 4 (suportul obs. 1.3 de la II.1.4)

$G(s)$ – olomorf în $\{\operatorname{Re} s \geq 0\}$; $G(j\tilde{S})$, $\tilde{S} \in \mathbf{R}$, – abs. integr.; i

$$|G(s)| \leq \frac{M}{|s|}, \operatorname{Re} s \geq 0, \quad (M > 0);$$

atunci $G(j\tilde{S})$ este r sp. la frecv. al unui sist. din. liniar realist.

D. Exist $g(t) = \frac{1}{2} \int_{-\infty}^{+\infty} G(j\tilde{S}) e^{j\tilde{S}t} d\tilde{S}$. (3.47)

Pentru fig.VI.1, cf. t. reziduurilor:

$$\frac{1}{2j} \int_{MNPMP} G(s) e^{st} ds = 0, \quad t < 0,$$

Pt. $R \rightarrow +\infty$, $= 0$.

$$\frac{1}{2j} \int_{MNP} G(s) e^{st} ds + \underbrace{\frac{1}{2j} \int_{-\infty}^{-\tilde{S}} G(j\tilde{S}) e^{j\tilde{S}t} d(j\tilde{S})}_{= -g(t)} = 0, \quad t < 0. \quad (3.48)$$

Din (3.47) i (3.48) $\Rightarrow g(t) = 0, \quad t < 0$. ■

M. Voicu, IA (VI)

C 11 (37)

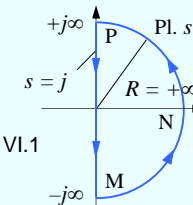


Fig. VI.1

5

Teorema 5 (Paley - Wiener)

O condi ie nec. i suf. ca $M(\tilde{S}) > 0$, $\tilde{S} \in \mathbf{R}$, de p trat integr., s fie modulul r sp. la frecv. al unui sist. din. lin. realist este:

$$\int_{-\infty}^{+\infty} \frac{|\ln M(\tilde{S})|}{1+\tilde{S}^2} d\tilde{S} < +\infty. \quad \blacksquare \quad (3.49)$$

Exemplul 3.7

FTJ cu $M(0)=1$, $0 < M(\tilde{S}) < 1$, $\tilde{S} \neq 0$,

$$\text{i } \lim_{\tilde{S} \rightarrow \pm\infty} M(\tilde{S}) = 0.$$

Caz limit : "clopotul lui Gauss":

$$\text{cf. (3.49): } M(\tilde{S}) = e^{-\tilde{S}^2}.$$

$\int_{-\infty}^{+\infty} \frac{\tilde{S}^2}{1+\tilde{S}^2} d\tilde{S}$ este divergent . Este necesar ca: $|\ln M(\tilde{S})| < \tilde{S}^2$.

Cu $A_{\text{dB}}(\tilde{S}) = 20 \lg M(\tilde{S})$ result : $-8,7\tilde{S}^2 < A_{\text{dB}}(\tilde{S}) < 0$. ■

M. Voicu, IA (VI)

C 11 (37)

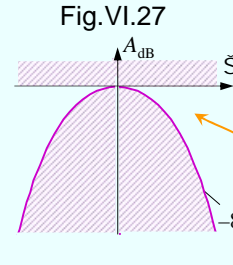


Fig.VI.27

6

3.3. Sisteme de defazaj minim

Când exist o rela ie i între $M(\check{S})$ și $\{\check{S}\}$?

Fie un sistem cu r spusul la frecven $G(j\check{S})$ și un altul cu :

$$G_l(j\check{S}) = \ln G(j\check{S}) = \ln M(\check{S}) e^{j\{\check{S}\}} = \ln M(\check{S}) + j\{\check{S}\}. \quad (3.50)$$

Cu $A(\check{S}) = \ln M(\check{S})$, cf. transform rii Hilbert:

Condi iile Bode
$$\{\check{S}\} = -\frac{1}{f} \int_{-\infty}^{+\infty} \frac{A(y)}{\check{S}-y} dy, \quad A(\check{S}) = \frac{1}{f} \int_{-\infty}^{+\infty} \frac{\{\check{S}\}(y)}{\check{S}-y} dy. \quad (3.51)$$

$$(3.52)$$

Fie $G(s) = \frac{Q(s)}{P(s)}$, cu $Q(s), P(s)$ prime. Cf. (3.50) se scrie:

$$G(s) = \ln Q(s) - \ln P(s).$$

Zerourile lui Q și ale lui P sunt poli pt. $\ln Q$ și respectiv $\ln P$.

(3.51-52) au loc numai dac Q și P au zerourile în $\{\operatorname{Re} s < 0\}$.

M. Voicu, IA (VI)

C 11 (37)

7

Condi iile Bode

$$\{\check{S}\} = -\frac{1}{f} \int_{-\infty}^{+\infty} \frac{A(y)}{\check{S}-y} dy, \quad A(\check{S}) = \frac{1}{f} \int_{-\infty}^{+\infty} \frac{\{\check{S}\}(y)}{\check{S}-y} dy. \quad (3.51)$$

$$(3.52)$$

Defini ia 9

Sistemele din. liniare cu to i polii și zerourile în $\{\operatorname{Re} s < 0\}$ se numesc sist. de **defazaj minim** (SDM).

Sistemele cu to i polii și o parte din zerouri în $\{\operatorname{Re} s < 0\}$ se numesc sist. de **defazaj nemiminim** (SDNM).■

Defazajul introdus de $G(j\check{S}) = M(\check{S}) e^{j\{\check{S}\}}$ se define te prin:

$$\mathbb{E}(\check{S}) = \{\text{intrare} - \{\text{iesire} = \{\text{intrare} - (\{\text{intrare} + \{\check{S}\}) = -\{\check{S}\}.$$

M. Voicu, IA (VI)

C 11 (37)

8

În mul. s. realiste cu acela și $M(\tilde{S})$, SDM are defazajul minim.
SDM satisfac (3.51), (3.52) – condițiile lui Bode.

Exemplul 3.8

Fie SDM: $G_m(s) = \frac{bs+1}{(a_1s+1)(a_2s+1)}$ cu $a_1, a_2, b > 0$, și

SDNM: $G_{nm}(s) = \frac{bs-1}{(a_1s+1)(a_2s+1)}$. Se se compare defazajele.

Audem $G_m(j\tilde{S}) = \frac{1+jb\tilde{S}}{(1+ja_1\tilde{S})(1+ja_2\tilde{S})}$, $G_{nm}(j\tilde{S}) = \frac{-1+jb\tilde{S}}{(1+ja_1\tilde{S})(1+ja_2\tilde{S})}$.

Modulele satisfac: $M_m(\tilde{S}) = M_{nm}(\tilde{S}) = \sqrt{\frac{1+(b\tilde{S})^2}{[1+(a_1\tilde{S})^2][1+(a_2\tilde{S})^2]}}$.

M. Voicu, IA (VI)

C 11 (37)

9

Fazele sunt: $\{\}_m(\tilde{S}) = \arctg b - \arctg a_1\tilde{S} - \arctg a_2\tilde{S}$,

$\{\}_{nm}(\tilde{S}) = -\arctg b\tilde{S} - \arctg a_1\tilde{S} - \arctg a_2\tilde{S}$.

Defazajele: $\mathbb{E}_m(\tilde{S}) = -\{\}_m(\tilde{S}) = -\arctg b + \arctg a_1\tilde{S} + \arctg a_2\tilde{S}$,

$\mathbb{E}_{nm}(\tilde{S}) = -\{\}_{nm}(\tilde{S}) = \arctg b\tilde{S} + \arctg a_1\tilde{S} + \arctg a_2\tilde{S}$.

Evident: $\mathbb{E}_m(\tilde{S}) < \mathbb{E}_{nm}(\tilde{S})$. ■

Exemplul 3.9

Pt. SDNM $G(s) = \frac{k(1-T_1s)}{1+Ts}$

esențialul apare în $h(t)$:

$h(+0)$ și $h(+\infty)$ sunt de semne opuse.

M. Voicu, IA (VI)

C 11 (37)

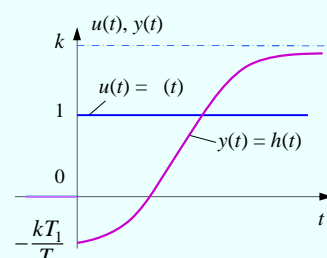


Fig.VI.28 ■

10

Structura SDNM:

$$G(s) = \frac{Q_1(s)Q_2(s)}{P(s)} \times \frac{Q_2(-s)}{Q_2(-s)} = \frac{Q_1(s)Q_2(-s)}{P(s)} \times \frac{Q_2(s)}{Q_2(-s)}; \quad (3.53)$$

$P(s), Q_1(s)$ au zerourile $\{\text{Re} s < 0\}$, iar $Q_2(s)$ în $\{\text{Re} s > 0\}$;

$Q_2(-s)$ are zerourile $\{\text{Re} s < 0\}$.

Multiplic (3.53) cu $\times \frac{Q_2(-s)}{Q_2(-s)}$ $\Rightarrow G(s) = G_m(s) \times G_t(s)$, (3.54)

cu: $G_m(s) = \frac{Q_1(s)Q_2(-s)}{P(s)}$ – SDM, $G_t(s) = \frac{Q_2(s)}{Q_2(-s)}$ **filtru ideal «trece-tot» (FITT)**

$$|G_t(j\tilde{S})| = \frac{|Q_2(j\tilde{S})|}{|Q_2(-j\tilde{S})|} = 1, \quad |G(j\tilde{S})| = |G_m(j\tilde{S})| |G_t(j\tilde{S})| = |G_m(j\tilde{S})|.$$

Sist. cu acela i $M(\tilde{S})$ se disting numai prin FITT, cf. (3.54).

4. Stabilitatea i stabilizarea sistemelor automate

4.1. Principiul argumentului

a. Integrala pe contur a derivatei logaritmice

Fie $G(s) = \frac{Q(s)}{P(s)}$, $s \in \mathbf{C}$, func ia de transfer a unui sist. din. liniar;

$P(s), Q(s)$ – relativ prime i grad $Q(s) = m$, grad $P(s) = n$.

Ipoteza 1. Fie χ un contur închis, în pl. \mathbf{C} , în interiorul c ruia

$G(s)$ are m_χ zerouri i n_χ poli (incl. multipl.). ■

Teorema 1 (Cauchy)

În ipoteza 1, $G(s)$ satisfacă: $\int_{\chi} \frac{G'(s)}{G(s)} ds = 2\pi j(m_\chi - n_\chi)$. (4.2)

\mathcal{D} . Fie z_i , de multipl. $m_i, i = \overline{1, \sim}$, zerourile lui $G(s)$ în interiorul lui x , și p_k , de multipl. $n_k, k = \overline{1, \epsilon}$, polii lui $G(s)$ din lui x .

$$\text{Au loc: } \sum_{\sim} m_i = m_x, \quad \sum_{\epsilon} n_k = n_x.$$

Pentru $\frac{G'(s)}{G(s)} = \frac{d}{ds} \ln G(s) \quad z_i \text{ și } p_k$ sunt poli simpli.

$$\text{Cf. t. rezid.: } \int_x \frac{G'(s)}{G(s)} ds = 2f j \left[\sum_{\sim} \operatorname{Re} z_x(z_i) + \sum_{\epsilon} \operatorname{Re} z_x(p_k) \right].$$

Pt. z_i se scrie: $G(s) = (s - z_i)^{m_i} G_i(s)$ (z_i nu este zero pt. $G_i(s)$).

$$\Rightarrow \frac{G'(s)}{G(s)} = \frac{m_i (s - z_i)^{m_i-1} G_i(s) + (s - z_i)^{m_i} G_i'(s)}{(s - z_i)^{m_i} G_i(s)} = \frac{m_i}{s - z_i} + \frac{G_i'(s)}{G_i(s)}.$$

Ca urmare: $\operatorname{Re} z_x(z_i) = m_i$.

$$\sum_{\sim} \operatorname{Re} z_x(z_i) = \sum_{\sim} m_i = m_x. \quad (4.4)$$

M. Voicu, IA (VI)

13

Pt. p_k se scrie: $G(s) = (s - p_k)^{-n_k} G_k(s)$ (p_k nu este pol pt. $G_k(s)$).

$$\Rightarrow \frac{G'(s)}{G(s)} = \frac{-n_k (s - p_k)^{-n_k-1} G_k(s) + (s - p_k)^{-n_k} G_k'(s)}{(s - p_k)^{-n_k} G_k(s)} = -\frac{n_k}{s - p_k} + \frac{G_k'(s)}{G_k(s)}.$$

Ca urmare: $\operatorname{Re} z_x(p_k) = -n_k$.

$$\sum_{\epsilon} \operatorname{Re} z_x(p_k) = -\sum_{\epsilon} n_k = -n_x. \quad (4.5)$$

Înlocuind (4.4) și (4.5) în (4.3) se obține (4.2). ■

Ipoteza 2. În plus $G(s)$ are \tilde{m}_x zerouri și \tilde{n}_x poli (inclusiv

multiplicităile) pe conturul x (cu tangentă continuă).

Teorema 2 (Cauchy)

$G(s)$, cf. ipotezelor 1 și 2, satisfac relația:

$$\int_x \frac{G'(s)}{G(s)} ds = 2f j(m_x - n_x) + f j(\tilde{m}_x - \tilde{n}_x). \quad (4.6)$$

M. Voicu, IA (VI)

C 11 (37)

14

b. Varia ia total a argumentului

Folosind (4.6) se ob in:

$$\int_{\chi} \frac{G'(s)}{G(s)} ds = 2f j(m_{\chi} - n_{\chi}) + f j(\tilde{m}_{\chi} - \tilde{n}_{\chi}), \quad (4.6)$$

$$\frac{d}{ds} [\ln G(s)]$$

$$[\ln G(s)]_{s \in \chi} = 2f j(m_{\chi} - n_{\chi}) + f j(\tilde{m}_{\chi} - \tilde{n}_{\chi}). \quad (4.7)$$

Inlocuind $G(s) = |G(s)|e^{j\arg G(s)}$ in (4.7), rezult :

$$[\ln G(s)]_{s \in \chi} = \underbrace{[\ln |G(s)|]_{s \in \chi}}_{=0} + j[\arg G(s)]_{s \in \chi} = 2f j(m_{\chi} - n_{\chi}) + f j(\tilde{m}_{\chi} - \tilde{n}_{\chi}),$$

din care se ob ine **principiul argumentului**:

$$[\arg G(s)]_{s \in \chi} = 2f (m_{\chi} - n_{\chi}) + f (\tilde{m}_{\chi} - \tilde{n}_{\chi}). \quad (4.8)$$

Se aplic **principiul argumentului**,

$$[\arg G(s)]_{s \in \chi} = 2f (m_{\chi} - n_{\chi}) + f (\tilde{m}_{\chi} - \tilde{n}_{\chi}),$$

pentru **conturul Nyquist** χ_N – fig.VI.1:

$$[\arg G(s)]_{s \in \chi_N} = 2f (m_{\chi_N} - n_{\chi_N}) + f (\tilde{m}_{\chi_N} - \tilde{n}_{\chi_N}).$$

Intrucat $\arg G(-j) = -\arg G(j)$ i

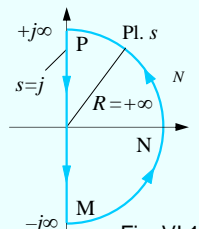


Fig. VI.1

rezult c pe **axa imaginar**, $\{\text{Re } s = 0\}$, pentru cresc tor:

$$\arg G(j\check{S}) \Big|_{-\infty}^{+\infty} = -2f (m_{\chi_N} - n_{\chi_N}) - f (\tilde{m}_{\chi_N} - \tilde{n}_{\chi_N}),$$

respectiv

$$\arg G(j\check{S}) \Big|_{-\infty}^{+\infty} = 2f (n_{\chi_N} - m_{\chi_N}) + f (\tilde{n}_{\chi_N} - \tilde{m}_{\chi_N}).$$

Fie m_0 și n_0 nr. zerouri finite și poli fini în $\{\text{Re } s = 0\}$.

Pentru $G(s)$ punctul de la *infinit*, situat pe x_N , este:

fie un zero (pt. $m < n$), fie un pol (pt. $m > n$) de multipl. $|m - n|$.

Pe $x_N \hookrightarrow$: $\tilde{m}_{x_N} - \tilde{n}_{x_N} = m_0 - n_0 - (m - n)$.

Fie $m_{x_N} = m_+$ și $n_{x_N} = n_+$ nr. zerouri și poli în $\{\text{Re } s > 0\}$.

Din $\arg G(j\check{S}) \Big|_{-\infty}^{+\infty} = 2f(n_{x_N} - m_{x_N}) + f(\tilde{n}_{x_N} - \tilde{m}_{x_N})$.

se obține **variația totală a argumentului**

$$\arg G(j\check{S}) \Big|_{-\infty}^{+\infty} = 2f(n_+ - m_+) + f(n_0 - m_0) + f(m - n). \quad (4.9)$$

Întrucât $G(-j\check{S}) = \bar{G}(j\check{S})$, $\arg G(j\check{S}) \Big|_{-\infty}^{+\infty} = 2\arg G(j\check{S}) \Big|_0^{+\infty}$,

din (4.9) $\hookrightarrow \arg G(j\check{S}) \Big|_0^{+\infty} = f(n_+ - m_+) + \frac{f}{2}(n_0 - m_0) + \frac{f}{2}(m - n)$. (4.10)

M. Voicu, IA (VI)

C 11 (37)

17

c. Criteriul Cremer-Leonhard

Fie $\Delta(s)$ – polinom monic, cu coeficienți reali și $\text{grad}\Delta(s) = r$.

Teorema 3 (Cremer-Leonhard)

$\Delta(s)$ este *hurwitzian* $\hookrightarrow \arg \Delta(j\check{S}) \Big|_0^{+\infty} = \frac{f}{2}r$. (4.11)

D. Fie r_+, r_0 nr. zerouri (cu multipl.) în $\{\text{Re } s > 0\}$, $\{\text{Re } s = 0\}$.

Din (4.10), pentru $G(s) = \Delta(s)$, $n_+ = 0$, $n_0 = 0$, $n = 0$, $m_+ = r_+$, $m_0 = r_0$, $m = r$,

$\arg G(j\check{S}) \Big|_0^{+\infty} = f(n_+ - m_+) + \frac{f}{2}(n_0 - m_0) + \frac{f}{2}(m - n)$, (4.10)

$\hookrightarrow \arg(j\check{S}) \Big|_0^{+\infty} = -fr_+ - \frac{f}{2}r_0 + \frac{f}{2}r$. (4.12)

Suf. Din (4.11), (4.12): $r_+ = 0$, $r_0 = 0$; $\Delta(s)$ – hurwitzian.

Nec. $\Delta(s)$ – hurwitzian: $r_+ = 0$, $r_0 = 0$. Din (4.12) rezultă (4.11). ■

M. Voicu, IA (VI)

C 11 (37)

18

Din condiția nec. și suf. $\arg \Delta(j\tilde{S}) \Big|_0^{+\infty} = \frac{\pi}{2}r$ este echivalent cu:

Teorema 4 (Cremer-Leonhard)

$\Delta(s)$ este *hurwitzian* dacă și numai dacă hodograful $\Delta(j\tilde{S})$, $\tilde{S} \geq 0$, parcurge în sens pozitiv exact r cădrane în succesiunea lor naturală . ■

Exemplul 4.1

Fie polinomul

$$U(s) = s^3 + 17s^2 + 2s + 1.$$

Se trasează hodograful

$\Delta(j\tilde{S})$, $\tilde{S} \geq 0$, fig.VI.29.

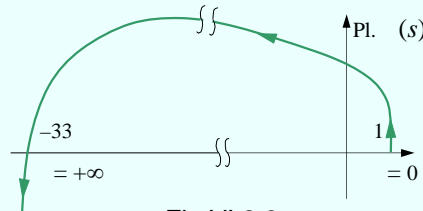


Fig.VI.29

Conform fig.VI.29, $\Delta(s)$ este hurwitzian. ■

M. Voicu, IA (VI)

C 11 (37)

19

4.2. Criteriul Nyquist

a. Utilizarea locului de transfer

Fie sistemul automat cf.

fig.VI.30 (coresp. fig.V.1), cu

$$G_d(s) = G(s)G_t(s) = \frac{Q(s)}{P(s)}, \quad G_0(s) = \frac{G_d(s)}{1+G_d(s)} = \frac{G_d(s)}{F(s)} = \frac{Q(s)}{P(s)+Q(s)}. \quad (4.13)$$

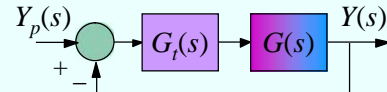


Fig.VI.30

$G_d(s)$ – sistemul în circuit deschis, $m = \text{grad } Q$, $n = \text{grad } P$, $m < n$.

$G_0(s)$ – sistemul în circuit închis, în care:

$$F(s) = 1 + G_d(s) = \frac{P(s) + Q(s)}{P(s)}. \quad (4.15)$$

Zerourile lui $F(s)$ coincid cu polii lui $G_0(s)$.

Polii lui $F(s)$ coincid cu polii lui $G_d(s)$.

M. Voicu, IA (VI)

C 11 (37)

20

Studiul stabilității se bazează pe utilizarea funcției $F(s)$.

$$F(s) = 1 + G_d(s) = \frac{P(s) + Q(s)}{P(s)}. \quad (4.15)$$

Zerourile lui $F(s)$ și polii lui $G_0(s)$ coincid:

z_+ zerouri sunt în $\{\operatorname{Re} s > 0\}$ și z_0 – în $\{\operatorname{Re} s = 0\}$.

Polii lui $F(s)$ și polii lui $G_d(s)$ coincid:

n_+ poli sunt în $\{\operatorname{Re} s > 0\}$ și n_0 – în $\{\operatorname{Re} s = 0\}$.

Punctul de la infinit ($s = \infty$) nu este zero sau pol pentru $F(s)$ deoarece $F(s)$ este raportul a două polinoame de gradul n .

Conform relației (4.9), cu $m_+ = z_+$, $m_0 = z_0$, $m-n = n-n = 0$, se scrie:

$$\arg F(j\tilde{s}) \Big|_{-\infty}^{+\infty} = 2f(n_+ - z_+) + f(n_0 - z_0). \quad (4.16)$$

Sistemul automat este BIBO-stabil ⇔ toți polii lui $G_0(s)$ (zerourile lui $F(s)$!) sunt situați în $\{\operatorname{Re} s < 0\}$ ⇔ $z_+ = z_0 = 0$.

Teorema 5 (Nyquist)

Sist. autom. cf. fig. VI.30 este BIBO-stabil dacă și numai dacă

$$\arg F(j\tilde{s}) \Big|_{-\infty}^{+\infty} = 2f(n_+) + f(n_0). \quad (4.17)$$

$$\mathcal{D}. \quad \arg F(j\tilde{s}) \Big|_{-\infty}^{+\infty} = 2f(n_+ - z_+) + f(n_0 - z_0). \quad (4.16)$$

Suf. (4.17) cu (4.16) $\Rightarrow z_+ = 0, z_0 = 0 \Rightarrow$ BIBO-stabilitatea.

Nec. Sist. aut. BIBO-stabil ⇒ $z_+ = 0, z_0 = 0$; din (4.16) \Rightarrow (4.17). ■

$G_d(s)$ are n_+ și n_0 poli în $\{\operatorname{Re} s > 0\}$ și $\{\operatorname{Re} s = 0\}$.

Sist. în circ. deschis poate fi arbitrar BIBO-instabil!

Cf. Teoremei 5, reactia negativă are efect stabilizant

dacă și numai dacă are loc (4.17), respectiv
se alocă adecvat polii sistemului automat.

Utilizând:

$$F(s) = 1 + G_d(s). \quad (4.15)$$

se poate formula un rezultat bazat pe $G_d(s)$.

Se reprezintă hodograful $G_d(j\tilde{s})$, $\tilde{s} \in \mathbb{R}$, iar hodograful:

$$F(j\tilde{s}) = 1 + G_d(j\tilde{s}), \quad \tilde{s} \in \mathbb{R},$$

rezultă automat față de originea
situată în $-1+j0$, fig.VI.31.

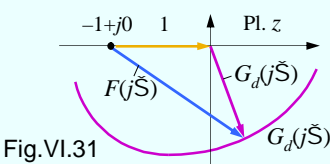


Fig.VI.31

Teorema 6 (Nyquist)

Sistemul automat, cf. fig.VI.30, este BIBO-stabil

- locul $G_d(j\tilde{s})$ înconjoară punctul $-1+j0$, în sens pozitiv,
de $n_+ + n_0/2$ ori, pt. \tilde{s} crescând de la $-\infty$ la $+\infty$. ■

Caz particular

Teorema 7 (Nyquist)

Sistemul automat, cf. fig.VI.30, în care $G_d(s)$ are cel mult doi poli în $s = 0$ și restul sunt în $\{\text{Re } s < 0\}$, este BIBO-stabil

- la parcurgerea locului $G_d(j\tilde{s})$, pentru \tilde{s} crescând de la $-\infty$ la $+\infty$, punctul $-1+j0$ rămâne la stânga și în afara lui. ■

$G_d(j\tilde{s})$ se parcurge pentru \tilde{s} crescând de la $-\infty$ la $+\infty$,
adică în sens negativ pe c. Nyquist, fig.VI.1.

Punctele situate la dreapta locului $G_d(j\tilde{s})$ sunt interioare.

Se hărătărește partea dreaptă a locului $G_d(j\tilde{s})$.

Dacă $-1+j0$ nu este în zona hărătării

⇒ el este în exteriorul loc. $G_d(j\tilde{s})$.

Exemplul 4.2

Fie SA cf. fig.VI.30, cu

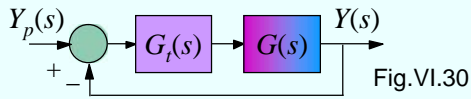
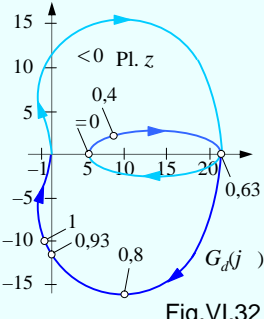


Fig.VI.30

$$G_d(s) = \frac{4s^2 + 10s + 5}{s^3 + 2s^2 + s + 1} \quad \text{al cărei numitor este hurwitzian.}$$

$$s = j\tilde{s} \Rightarrow \operatorname{Re} G_d(j\tilde{s}) = \frac{-(2\tilde{s}^4 + 4\tilde{s}^2 - 5)}{\tilde{s}^6 + 2\tilde{s}^4 - 3\tilde{s}^2 + 1}, \quad \operatorname{Im} G_d(j\tilde{s}) = \frac{-\tilde{s}(4\tilde{s}^4 + 11\tilde{s}^2 - 5)}{\tilde{s}^6 + 2\tilde{s}^4 - 3\tilde{s}^2 + 1}.$$



M. Voicu, IA (VI)

Cf. tabelului:

\tilde{s}	0	0,2	0,4	0,63	0,8	0,93	1	10	10^2	$+\infty$
$\operatorname{Re} G_d(j\tilde{s})$	5	5,3	7,7	20,4	10	≈ 0	-1	$-2 \cdot 10^{-2}$	$-2 \cdot 10^{-4}$	0
$\operatorname{Im} G_d(j\tilde{s})$	0	1,08	2,25	≈ 0	-18	-12,6	-10	$-2,2 \cdot 10^{-2}$	$-4 \cdot 10^{-2}$	0

$G_d(j\tilde{s})$ este reprezentat în fig.VI.32.

$-1+j0$ este în exteriorul locului $G_d(j\tilde{s})$.

Cf. teoremei 7 SA este BIBO-stabil. ■

C 11 (37)

25

Caz limit : $G_d(j\tilde{s}) = -1+j0$. $G_0(s)$ are poli în $\{\operatorname{Re} s = 0\}$.

SA este BIBO-instabil; $-1+j0$ se numește **punctul critic**.

$G_d(j\tilde{s})$ situat departe de p. critic reduce posibilitatea

ca SA să devină BIBO-instabil la variația parametrilor.

BIBO-stabilitatea relativă, fig. VI.34

– **marginea de amplificare**:

$$m = 1/|G_d(j\tilde{s}_{-180^\circ})|,$$

pt. \tilde{s}_{-180° , cf. $\arg G_d(j\tilde{s}_{-180^\circ}) = -180^\circ$;

– **marginea de fază** :

$$\gamma = \arg G_d(j\tilde{s}_t) + 180^\circ,$$

pt. \tilde{s}_t , cf. $|G_d(j\tilde{s}_t)| = 1$ și $\arg G_d(j\tilde{s}_t) = 0$ (\tilde{s}_t FTJ real)

Se recomandă : $m = 3 \div 10$, $x = 30^\circ \div 50^\circ$.

C 11 (37)

26

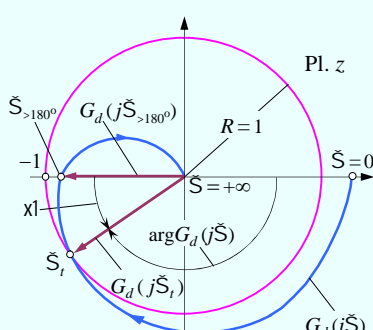


Fig.VI.34

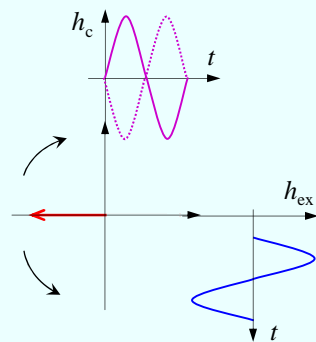
M. Voicu, IA (VI)

b. Aplica ie: alegerea regulatorului unui SA de pozi ionare

Câmpul magnetic învărtitor

$$h_{ex} = -h_0 \cos \omega t, \quad h_c = \pm h_0 \sin \omega t,$$

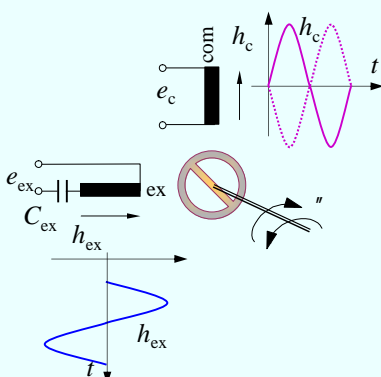
$$h_c^2 + h_{ex}^2 = h_0^2$$



M. Voicu, IA (VI)

Servomotorul

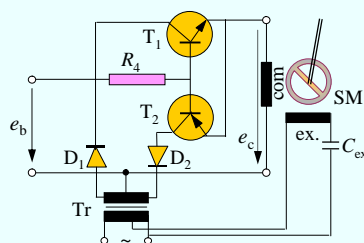
asincron bifazat



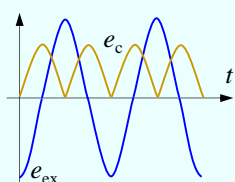
C 11 (37)

27

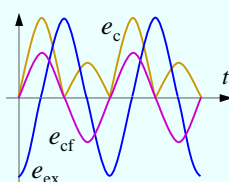
Comanda reversibil a servomotorului asincrom bifazat



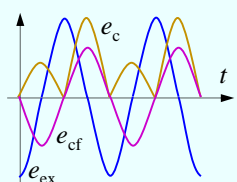
$e_b = 0$: repaus



$e_b < 0$: rota ie orar



$e_b > 0$: rota ie antiorar



M. Voicu, IA (VI)

C 11 (37)

28

Sistemul automat de pozitionare

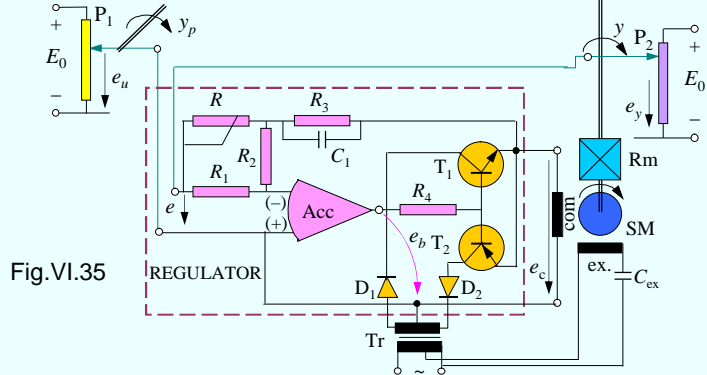


Fig.VI.35

SM – elementul de execuție: servomotor asincron bifazat.

P₂ – potențiometru de reacție; P₁ – potențiometru de prescriere.

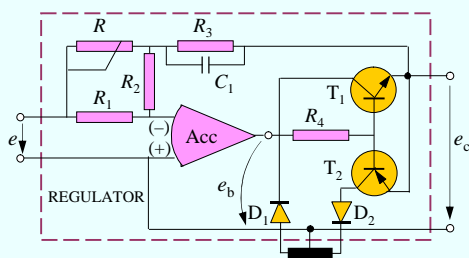
SM este comandat reversibil cu un redresor cu tranzistorii T₁, T₂, prin tensiunea de ieșire a amplificatorului operațional.

M. Voicu, IA (VI)

C 11 (37)

29

Regulatorul: Acc + impedanțele de intrare și de reacție



$$Z_1(s) = \frac{RR_1}{R + R_1 + R_2},$$

$$Z_2(s) = \frac{RR_2}{R + R_1 + R_2} + R_3(R_3C_1 + 1).$$

$$\text{Legea de reglare: } G_R(s) = \frac{E_c(s)}{E(s)} = -\frac{Z_1(s)}{Z_2(s)} = -k_0 \left(1 + \frac{k}{Ts + 1} \right),$$

$$k_0 = \frac{R_2}{R_1}, \quad k = \frac{R_3}{R_2} \left(1 + \frac{R_1 + R_2}{R} \right), \quad T = R_3 C_1.$$

Reacția prin R₃, C₁ de la emitorii T_{1,2} asigură un cuplu de pornire al SM mai mare (creșterea rapidității).

M. Voicu, IA (VI)

C 11 (37)

30

Cf. fig.VI.35, funciiile de transfer ale componentelor sunt:

Elementul de prescriere și traductorul sunt

potențiometrele P_1, P_2 (la axul SM prin R_m):

$$G_{P1}(s) = \frac{E_u(s)}{Y_p(s)} = k_1, \quad G_{P2}(s) = \frac{E_y(s)}{Y(s)} = k_1.$$

Regulatorul:

$$G_R(s) = \frac{E_c(s)}{E(s)} = -k_0 \left(1 + \frac{k}{Ts+1} \right).$$

Servomotorul:

$$G_{SM}(s) = \frac{b(s)}{E_c(s)} = -\frac{1}{T_1 s (T_2 s + 1)}; \text{ (-) pentru a se compensa (-) din } G_R(s).$$

Reductorul mecanic:

$$G_{Rm}(s) = \frac{Y(s)}{b(s)} = k_2.$$

Abaterea $E(s) = E_u(s) - E_y(s)$ este prop. cu eroarea $Y_p(s) - Y(s)$.

M. Voicu, IA (VI)

C 11 (37)

31

Schema bloc structural a SA de pozitionare

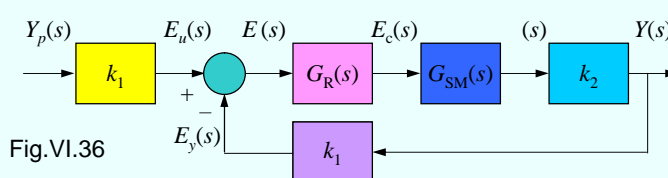


Fig.VI.36

$$G_{P1}(s) = \frac{E_u(s)}{Y_p(s)} = k_1, \quad G_{P2}(s) = \frac{E_y(s)}{Y(s)} = k_1; \quad G_R(s) = \frac{E_c(s)}{E(s)} = -k_0 \left(1 + \frac{k}{Ts+1} \right).$$

$$G_{SM}(s) = \frac{b(s)}{E_c(s)} = -\frac{1}{T_1 s (T_2 s + 1)}; \quad G_{Rm}(s) = \frac{Y(s)}{b(s)} = k_2.$$

Relația intrare - ieșire: $Y(s) = G_0(s)U(s)$,

$$G_0(s) = \frac{k_1 k_2 G_R(s) G_{SM}(s)}{1 + k_1 k_2 G_R(s) G_{SM}(s)} = \frac{k_0 k_1 k_2 (Ts + k + 1)}{T_1 s (T_2 s + 1) (Ts + 1) + k_0 k_1 k_2 (Ts + k + 1)}.$$

M. Voicu, IA (VI)

C 11 (37)

32

1° $k_0 = 1$ și $k = 0$ ($R_1 = R_2$ și $R_3 = 0$), adică $G_R(s) = 1$.

Funcția de transfer a sistemului în circuit deschis are forma:

$$G_{d1}(s) = k_1 k_2 G_R(s) G_{SM}(s) = \frac{k_1 k_2}{T_1 s (T_2 s + 1)},$$

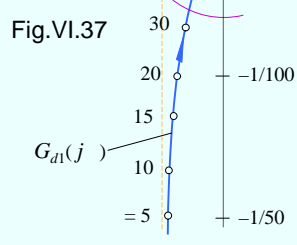
$$k_1 = 0,05[\text{V/grad}], \frac{T_1}{k_2} = 0,5[\text{sec}], T_2 = 0,005[\text{sec}].$$

Pentru $s = j\tilde{S}$ se obține:

$$M_{d1}(j\tilde{S}) = |G_{d1}(j\tilde{S})| = \frac{2}{\tilde{S}\sqrt{\tilde{S}^2 + 400}},$$

$$\angle_{d1}(j\tilde{S}) = \arg G_{d1}(j\tilde{S}) = 270^\circ - \arctg \frac{\tilde{S}}{20}.$$

\tilde{S}	0	5	10	15	20	30	50	100	$+\infty$
$50M_{d1}$	$+\infty$	0,97	0,45	0,267	0,177	0,093	0,037	0,0098	0
\angle_{d1}	-90°	-104°	-117°	-127°	-135°	-146°	-158°	-169°	-180°



-1 este în exteriorul locului $G_{d1}(j\tilde{S})$.

Cf. t.7 SA este BIBO-stabil cu:

$$m = +\infty, k_0 > 0.$$

Pt. $k_0 > 1$ este posibil $x = 30^\circ \div 50^\circ$.

Pt. intersecția lui $k_0 G_{d1}(j\tilde{S})$ cu cercul de rază 1 și centru $(0, j0)$ se obține:

$$\tilde{S}_1 = 20\sqrt{3}, k_0 = 400\sqrt{3}.$$

Ecuația polilor SA:

$$T_1 T_2 s^2 + T_1 s + k_0 k_1 k_2 = 0$$

Pentru pulsă naturală :

$$\tilde{S}_n = \sqrt{k_0 k_1 k_2 / T_1 T_2} = 37[\text{rad/sec}].$$

și factorul de amortizare:

$$\zeta = 1/(2T_2 \tilde{S}_n) = 0,27.$$

din fig.II.47 rezultă :

$$\ddot{\theta} \% = 40\%, t_s = 0,3 \text{ sec.}$$

2° Pentru $k > 0$ ($R_3 > 0$), se realizează un regulator PDT1:

$$G_R(s) = k_0 \left(1 + \frac{k}{Ts + 1} \right).$$

Sistemul în circuit deschis :

$$G_{d2}(s) = [k_1 k_2 G_{SM}(s)] G_R(s) = G_{d1}(s) G_R(s).$$

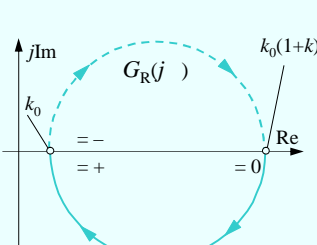


Fig. 38

$$G_R(j\check{S}) = k_0 \left(1 + \frac{k}{Tj\check{S} + 1} \right).$$

cerc

$$\check{S} = 0, \quad G_R(0) = k_0(1+k),$$

$$\check{S} = \pm\infty, \quad G_R(\pm j\infty) = k_0.$$

M. Voicu, IA (VI)

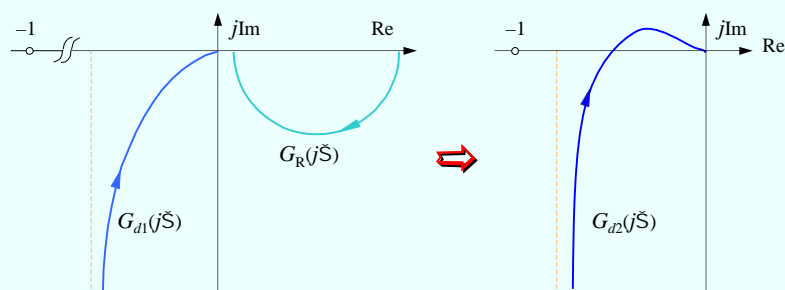
C 11 (37)

35

Locul de transfer $G_{d2}(j\check{S}) = G_{d1}(j\check{S})G_R(j\check{S})$ se obține cu:

$$M_{d2}(\check{S}) = |G_{d2}(j\check{S})| = M_{d1}(j\check{S})M_R(j\check{S}),$$

$$\{_{d2}(\check{S}) = \arg G_{d2}(j\check{S}) = \{_{d1}(j\check{S}) + \{_R(j\check{S}).$$



Efectul regulatorului: rotație negativă a locului $G_{d1}(j\check{S})$, mai accentuată la frecvențe medii.

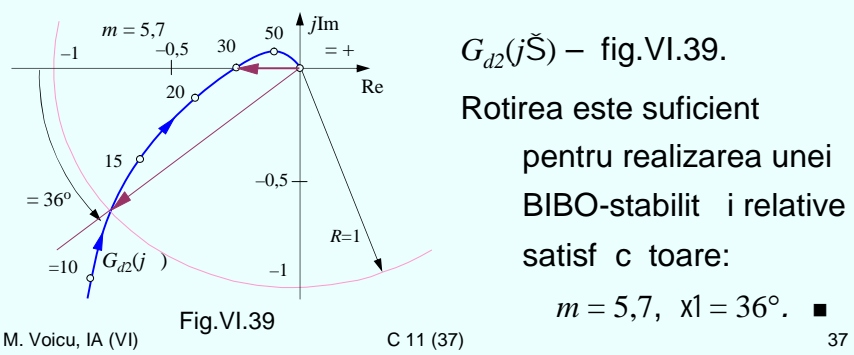
M. Voicu, IA (VI)

C 11 (37)

36

Pentru $k_0 = 40$, $k = 3$, $T = 0,05$ s., rezult

S	0	5	10	15	20	30	50	100	$+\infty$
M_R	160	155	144	130	117	94	63	50	40
ζ_R	0°	-10°	-19°	-27°	-31°	-35°	-35°	-27°	0°
$50M_{d1}$	$+\infty$	0,97	0,45	0,267	0,177	0,093	0,037	0,0098	0
ζ_{d1}	-90°	-104°	-117°	-127°	-135°	-146°	-158°	-169°	-180°
M_{d2}	$+\infty$	3	1,3	0,69	0,42	0,175	0,0465	0,0098	0
ζ_{d2}	-90°	-114°	-136°	-154°	-166°	-181°	-193°	-196°	-180°



M. Voicu, IA (VI)

37